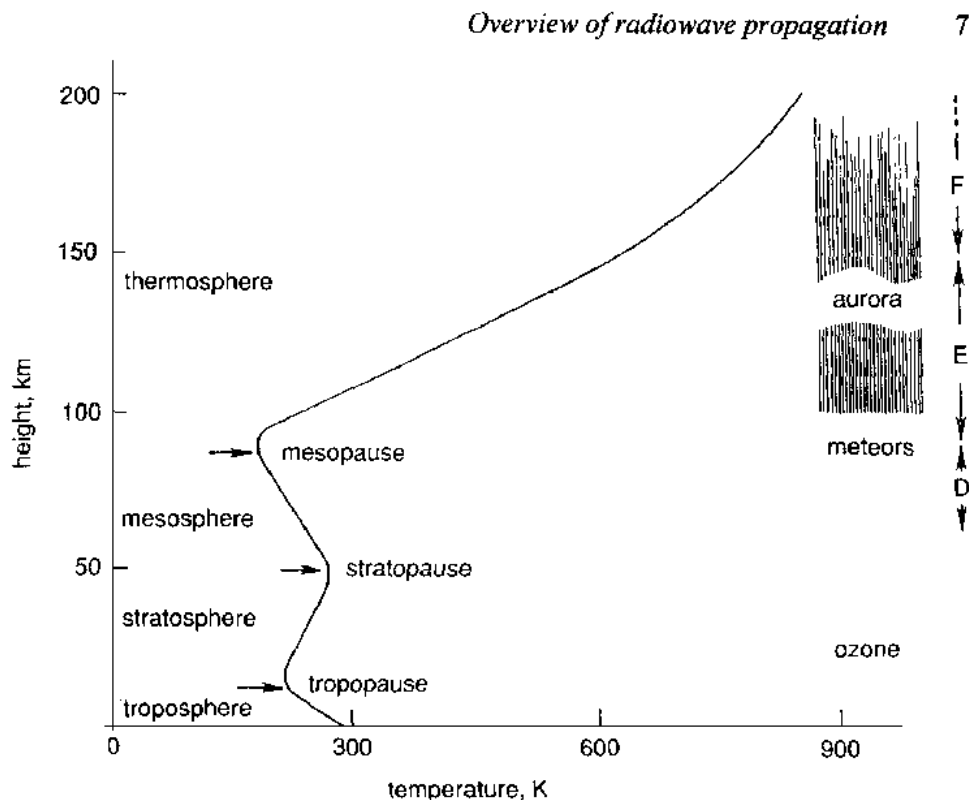


2. Hullámterjedés

Hullámterjedési módok

A földi atmoszféra felépítése



A frekvenciasávok jellemzői

1. ELF (3 kHz alatt) és VLF (3-30 kHz)

ELF

Az atmoszféra hatása: az ionoszféra a tápvonal módusú terjedés felső határát képezi

A terep hatása: az föld felszíne a tápvonal módusú terjedés alsó határát képezi

Rendszerjellemzők: alacsony információs sebesség

Tipikus szolgálatok: rövid távolságú - víz alatti, bűvárok között
nagy távolságú - tengeralattjárók közötti kommunikáció, föld
alatti távérzékelés, bányák

Az ELF hullámok a föld és az ionoszféra között kialakuló gömb üregben terjednek és mélyen behatolnak a földbe és vízbe.

100 Hz-en a tengervíz specifikus csillapítása 0.3 dB/m (harmada a föld ionoszféra tápvonal csillapításának, mely 1 dB/m 1 kHz-en és több, mint 30 dB/m 1 MHz-en).

Az elérhető adatsebesség 1 bit/s körül van.

VLF

Az atmoszféra hatása: az ionoszféra D rétege képezi a terjedés felső határát

A terep hatása: az föld felszíne a terjedés alsó határát képezi

Rendszerjellemzők: még a 100 m-es méretű antennatornyok is csak a hullámhossz töredéke méretűek, nehéz irányított ill. jó hatásfokú adóantennákat készíteni, alacsony adatsebesség.

Tipikus szolgálatok: világméretű táviróösszeköttetés a hajókkal, nagy távolságú állandóhelyű összeköttetések, navigációs célok (Omega), viharjelző szolgálatok, idő standardok,

2. LF (30-300 kHz) és MF (300-3000 kHz)

LF

Az atmoszféra hatása: 100 kHz-ig még továbbra is csak felületi hullámok, e fölött megjelennek a térhullámok is.

A terep hatása: a felületi hullámok követik a föld görbületét,

Rendszerjellemzők: még a 100 m-es méretű antennatornyok is csak a hullámhossz töredéke méretűek, nehéz irányított ill. jó hatásfokú adóantennákat készíteni,

Tipikus szolgálatok: nagy távolságú összeköttetés hajókkal, nagy távolságú állandóhelyű összeköttetések, műsorszórás, rádió navigáció,

MF

Az atmoszféra hatása: az térhullámok a felületi hullámok mellett elkülönülve jelentkeznek, a felületi hullámok kisebb távolságon, alacsonyabb frekvencián, a térhullámok nagyobb távolságon, magasabb frekvencián,

A terep hatása: reflexió

Rendszerjellemzők: 1 MHz-en a félhullámhosszúságú antennatorny 150 m, több elemű, irányított antennák, L, T elemek, ill. ferritantennák vevőantennaként,

Tipikus szolgálatok: műsorszórás, rádió navigáció, néhány földi, tengeri ill. légi mozgó szolgálat, néhány állandóhelyű szolgálat,

3. HF (3-30 MHz)

Az atmoszféra hatása: az térhullámok csak az ugrástávolság után jelentkeznek, a felületi hullámok kisebb távolságon, főleg tenger felett

A terep hatása: reflexió (szórás)

Rendszerjellemzők: log-periódikus antennák (horizontális vagy vertikális), vertikális ostorantenna, horizontális dipólrendszer,

Tipikus szolgálatok: állandóhelyű pont-pont összeköttetések, földi (az ugrástávolságnál nagyobb távolságra), tengeri, légi mozgó szolgálat, nagy távolságú műsorszórás,

4. VHF (30-300 MHz) UHF (300-3000 MHz)

VHF

Az atmoszféra hatása: refrakció és reflexió a törésmutató index irregularitásokon, szporadikus E reflexió, ionoszférikus szórás, Faraday forgatás, ionoszférikus szcintilláció a föld-műhold rádióösszakaszon,

A terep hatása: reflexió nagyobb hegyekről, diffrakció a völgyekbe, felületi reflexió többutas terjedést okoz látóhatáron belüli összeköttetéseknel,

Rendszerjellemzők: több elemes Yagi antennák, helixek,

Tipikus szolgálatok: hang és kép műsorszórás; földi, légi és tengeri mozgó szolgálatok, mobil telefonok és vezeték nélküli telefonok, rádió navigációs nyálábok

UHF

Az atmoszféra hatása: refrakció, reflexió alacsonyabb frekvencián, duct magasabb frekvencián törésmutató index fluktuáció miatt horizonton túli szórás $f > 500$ MHz

A terep hatása: hegyek, épületek által okozott árnyékolás

Rendszerjellemzők: Yagi antennák, nagy sávzélesség, paraboloid reflektor antennák nagyobb frekvencián

Tipikus szolgálatok: TV műsorszórás,

légi navigáció, leszállító rendszer,

radar, mobil szolgálatok, cellás rádiótelefon rendszerek

Troposzférikus szórással 300-600 km elérhető,

Az SHF (centiméteres hullámok, 3-30 GHz) tartományában az előző sávokhoz képest a csapadék már számításba veendő, változó csillapítást okoz. Nagy nyereségű, forgásparaboloid és tölcserantennákat alkalmaznak. A tipikus rendszerek a fix telepítésű földi pont-pont, pont-multipont, műholdas mobil hírközlési alkalmazások és rádiólokáció.

Az EHF (30-300 GHz, milliméteres hullámok) és (300-3000 GHz, szubmilliméteres hullámok) sávokban a csapadék csillapítása mellett az atmoszférikus gázok csillapítása is jelentős. Nagynyereségű antennaként az

EHF sávon paraboloid reflektor, a szubmilliméteres sávon lencseantennákat alkalmaznak. A sávokban megvalósítható rendszerek kis távolságú látóhatáron belüli összeköttetések és távérzékelés.

A hullámterjedés fizikai mechanizmusai

Az adó- és vevőantenna között az elektromágneses hullám többféle fizikai mechanizmus útján terjed, ezeket hullámterjedési módoknak nevezzük. A továbbiakban az alábbi hullámterjedési módokat vizsgáljuk meg részletesen.

Közvetlen hullám, vagy direkt hullám

Földről reflektált hullám

Felületi hullám

Diffrakciós terjedés

Troposzférikus szórás

Ionoszférikus hullám, vagy térhullám

A látóhatáron belüli terjedésnél a közvetlen- és földről reflektált hullám mindig együtt van jelen. Az URH és mikrohullámú sávban ilyenkor a többi hullámterjedési mód hatását rendszerint el lehet hanyagolni.

Ahhoz, hogy eldöntsük egy-egy összeköttetésnél mely mód a domináns először a fizikai képeket vázoljuk fel.

2.1. Közvetlen hullám

Kialakulásának feltétele, hogy az adó- és vevőantenna között a terjedés akadálytalanul, szabad térben jöjjön létre. Akadálytalanak tekintjük a terjedést, ha a hullámfrontnak az a része terjedakadálytalanul, amely az energia nagyobb részét (98-99%-át) szállítja. (Fresnel zónák)

A G_A nyereségű adóantennába P_A teljesítményt betáplálva az antenna által a szabad térben előállított teljesítménysűrűség az antennától r távolságban

$$S_o = \frac{P_A G_A}{4\pi r^2} \quad (2.1)$$

Mivel az antenna távolterében a hullám síkhullámnak tekinthető, ezért az elektromos és mágneses térerősség vektorai itt egymásra és a terjedés irányára merőlegesek és fázisban vannak. Ekkor a teljesítménysűrűség a következőképpen írható fel

$$S = \frac{|\mathbf{E}_{csúcs}|^2}{240\pi} \quad (2.2)$$

A (2.1) és (2.2) képletekből az elektromos térerősség amplitúdója

$$E_{csúcs} = \frac{\sqrt{60 P_A G_A}}{r} \quad (2.3)$$

A szabadtéri csillapítás

$$a_o = 20 \lg \left(\frac{4\pi r}{\lambda} \right) - (G_A^{dB} + G_V^{dB}) \quad (2.4)$$

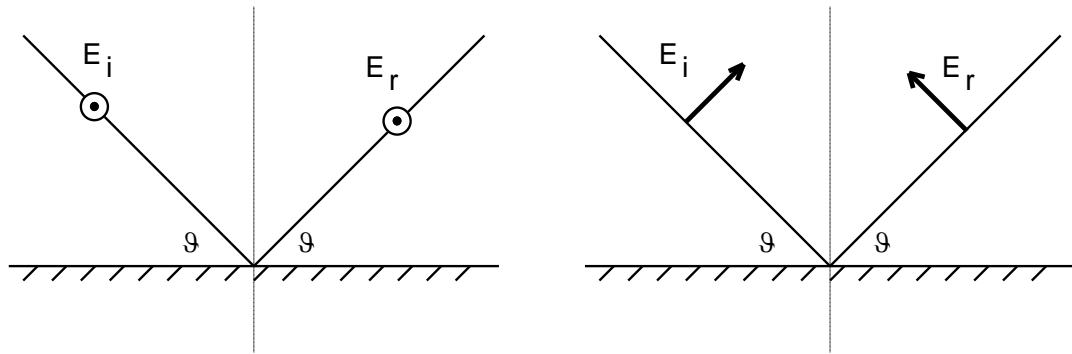
Mint a (2.3) és (2.4) képletekből látszik, az elektromos térerősség amplitúdója az adóantennától mért távolsággal fordítottan, a szakaszcsillapítás pedig a távolság négyzetével egyenesen arányos.

2.2. Földről reflektált hullám

A földről reflektált hullám amplitudóját, fázisát és polarizációját a föld anyaga és felületének egyenetlensége határozza meg. Ha a föld felszíne sík és tökéletesen síma, akkor spekuláris reflexió alakul ki. Ha a beeső hullám síkhullám, akkor a visszavert hullám is az lesz és az energia egyetlen diszkrét irányba terjed. Ez az ideális eset elméletileg jól leírható, ha a veszteségmentes dielektrikumra vonatkozó Snell-Descartes törvényt a komplex ε és komplex μ bevezetésével veszteséges dielektrikumokra általánosítjuk.

Egyetlen felületről történő reflexió esetén a spekuláris és diffúz reflexió együtt jelenik meg. A diffúz reflexió a reflektált hullámfront síktól való eltéréseivel van összefüggésben, és az energiának a tér minden irányába történő szóródását jelenti.

A továbbiakban a talajreflexió tényezőt vizsgáljuk meg az alábbi két polarizációra. (2.1. ábra)



2.1. ábra Horizontális polarizáció

Vertikális polarizáció

A földreflexió tényezőt mint a reflektált és beeső hullám elektromos térerőssége amplitudóaránya.

$$\Gamma = \frac{E_r}{E_i} \quad (2.5)$$

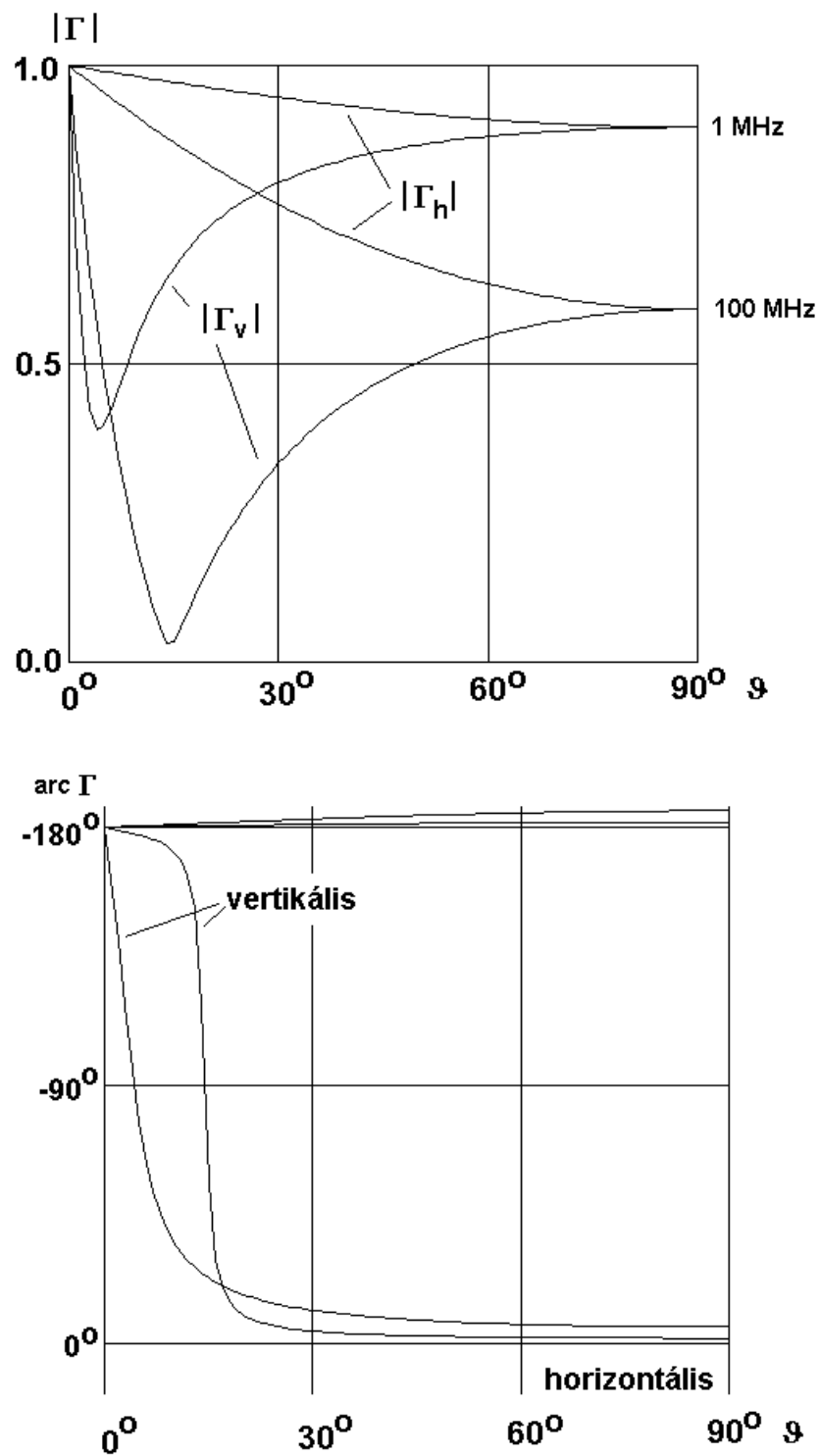
A talajreflexió tényező horizontális polarizációra

$$\Gamma_h = \frac{\sin \vartheta - \sqrt{\varepsilon^* - \cos^2 \vartheta}}{\sin \vartheta + \sqrt{\varepsilon^* - \cos^2 \vartheta}} \quad (2.6)$$

A talajreflexió tényező vertikális polarizációra

$$\Gamma_v = \frac{\varepsilon^* \sin \vartheta - \sqrt{\varepsilon^* - \cos^2 \vartheta}}{\varepsilon^* \sin \vartheta + \sqrt{\varepsilon^* - \cos^2 \vartheta}} \quad (2.7)$$

Ábrázoljuk a talajreflexió abszolút értékét és fázisát két frekvenciára



2.2. ábra A földreflexió tényező abszolút értéke és fázisa

ϑ_B beesési szögnél vertikális polarizációnál a $|\Gamma|$ minimumot ér el.

Ha $\sigma=0$, akkor

$$\text{tg } \vartheta_B = \frac{1}{\sqrt{\varepsilon_r}} \quad (2.8)$$

Ennél a szögnél $\Gamma_v = 0$ és ϑ_B a Brewster szög.

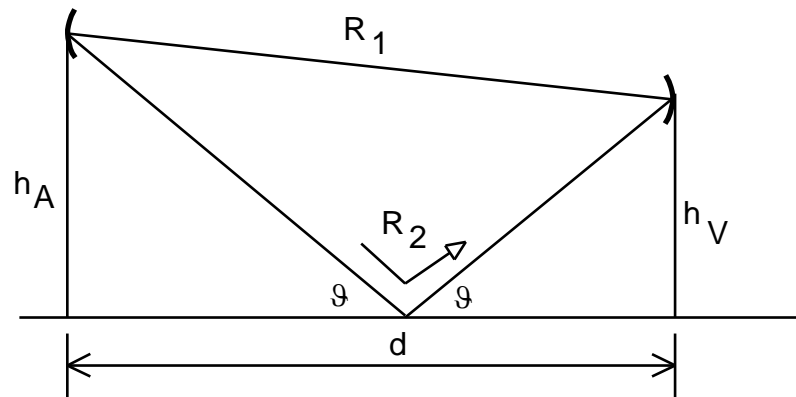
Ha $\sigma \neq 0$ akkor

$$\operatorname{tg} \vartheta_B \cong \frac{1}{\sqrt{\varepsilon_r}} \quad (2.9)$$

és ϑ_B a pszeudo Brewster szög.

2.3. Kétutas hullámterjedés sík föld fölött

Az adóantennát és a vevőantennát a sík földtől h_A és h_V magasságban elhelyezve az elektromágneses hullámok a két antenna között a 2.3. ábra alapján közvetlen és a földfelszínről reflektált úton jutnak el. A vételi térerősség a két komplex amplitudó összege a vevőantenna helyén.



2.3. ábra Kétutas terjedés

Mivel a gyakorlatban előforduló összeköttetéseknél $\vartheta \leq 5^\circ$, ezért a 2.2. ábrák alapján a földreflexiós tényező értéke bármely polarizáció mellett, tetszőleges üzemi frekvencián jó közelítéssel -1 értékűnek tekinthető, így a továbbiakban

$$\Gamma_f = -1 \quad (2.10)$$

A vételi térerősség a közvetlen és földről reflektált hullám térerősségösszegeként írható fel

$$E_V = E_d + E_r \cong E_o + E_o \Gamma_f e^{-j\beta \Delta R} \quad (2.11)$$

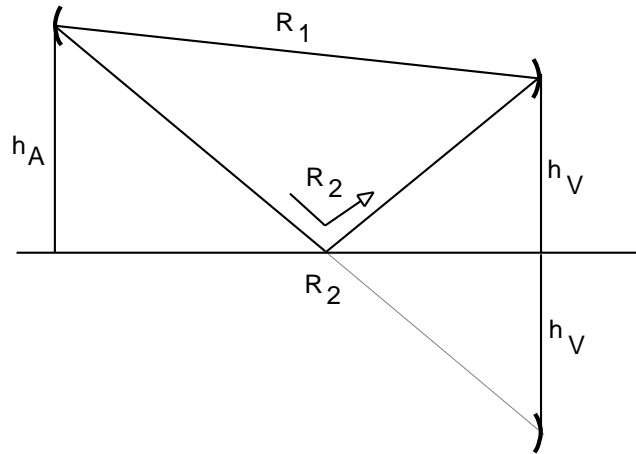
ahol

$\Delta R = R_2 - R_1$ a közvetlen és reflektált hullám úthosszáinak különbsége

Az úthosszak a tükrözési tétel értelmében a 2.4. ábra alapján

$$R_1 = \sqrt{d^2 + (h_A - h_V)^2} \quad (2.12)$$

$$R_2 = \sqrt{d^2 + (h_A + h_V)^2} \quad (2.13)$$



2.4. ábra Közvetlen és reflektált utak

A (2.12 és (2.13) képleteket az

$$\sqrt{1+x} \cong 1 + \frac{1}{2}x \quad ; \quad x \ll 1 \quad (2.14)$$

sorfejtés első két tagjának felhasználásával az alábbi alakban írhatjuk fel.

$$R_1 = d \sqrt{1 + \left(\frac{h_A - h_V}{d} \right)^2} \cong d \left[1 + \frac{1}{2} \left(\frac{h_A - h_V}{d} \right)^2 \right] \quad (2.15)$$

$$R_2 = d \sqrt{1 + \left(\frac{h_A + h_V}{d} \right)^2} \cong d \left[1 + \frac{1}{2} \left(\frac{h_A + h_V}{d} \right)^2 \right] \quad (2.16)$$

Innen az úthosszkülönbség

$$\Delta R = R_2 - R_1 \cong \frac{2h_A h_V}{d} \quad (2.17)$$

A (2.10), (2.17) képleteket a (2.11)-ba helyettesítve a vételi térerősség

$$E_V \cong E_o \left(1 - e^{-j\beta \Delta R} \right) \cong E_o \left(1 - e^{-j\beta \frac{2h_A h_V}{d}} \right) \quad (2.18)$$

$$E_V = E_o e^{-j\beta \frac{h_A h_V}{d}} 2j \sin \left(\beta \frac{h_A h_V}{d} \right) \quad (2.19)$$

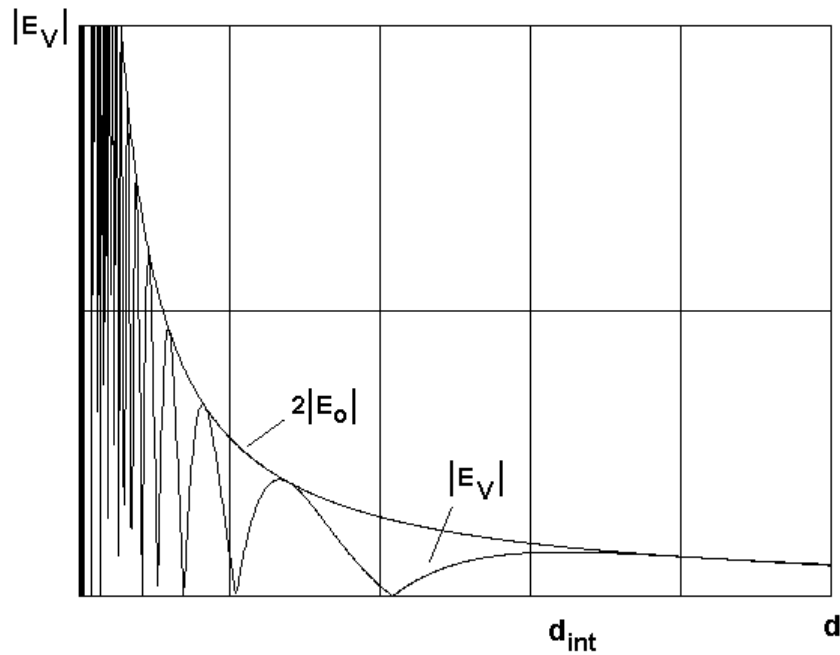
Mivel a térerősség abszolút értékét mérjük és a felhasználás szempontjából ez a fontos, ezért a fázistényezőket a továbbiakban nem vesszük figyelembe.

$$|E_V| = 2 E_o \left| \sin \left(\frac{2\pi}{\lambda} \frac{h_A h_V}{d} \right) \right| \quad (2.20)$$

Vizsgáljuk meg a továbbiakban a térerősség változását mozgó és állandóhelyű összeköttetésekre.

2.3.1. Mozgó rádióösszeköttetés térerőssége

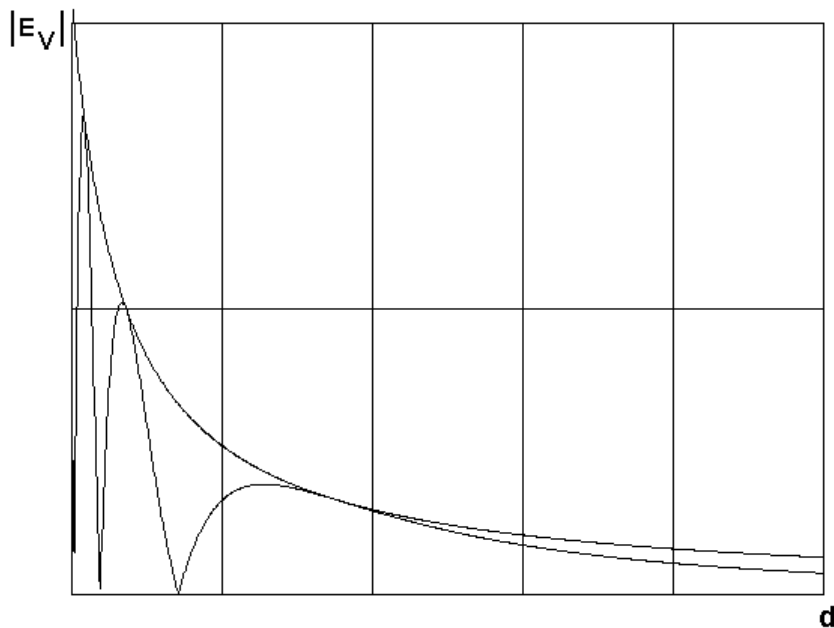
Az $|E_V|$ térerősséget ábrázoljuk a d szakasztávolság függvényében.



2.5. ábra Kétutas rádióösszeköttetés térerőssége

A rádiósszakasznak az állandóhelyű antenna és d_{int} távolság közötti részét interferencia zónának nevezzük, ahol mint az a 2.5. ábrán jól látható, a térerősség minimum és maximumhelyei váltva követik egymást. Az interferencia zónán kívül a térerősség $1/d^2$ -tel arányos, szemben a szabadtéri rádióösszeköttetés $1/d$ -vel arányos térerősségével.

Ennek láthatóvá tételére nagyítsuk ki a 2.5. ábra jobb oldali tartományát. (2.6. ábra)



2.6. ábra Kétutas rádióösszeköttetés térerőssége

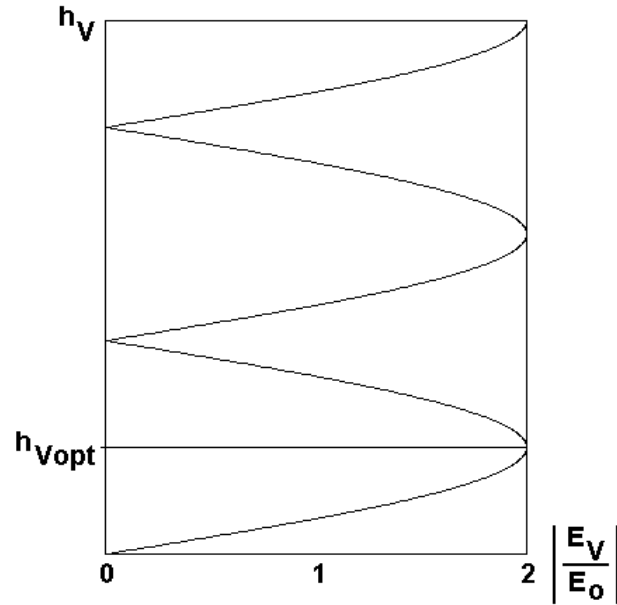
Az interferencia zóna határának kiszámításához vizsgáljuk meg a (2.20) kifejezés szinusz függvényének argumentumát. Az interferencia zóna határát az adja, ahol az argumentum $\pi/2$ -vel egyenlő.

$$\frac{2\pi}{\lambda} \frac{h_A h_V}{d_{\text{int}}} = \frac{\pi}{2} \quad (2.21)$$

$$d_{\text{int}} = \frac{4h_A h_V}{\lambda} \quad (2.22)$$

2.3.2. Állandóhelyű rádióösszeköttetés

Állandóhelyű rádióösszeköttetéseknel a cél az optimális vevőantenna magasság meghatározása.



2.7. ábra Állandóhelyű rádióösszeköttetés térerőssége

Az optimális vevőantenna magasságot ugyancsak a (2.22) összefüggésből kapjuk, innen

$$h_{Vopt} = \frac{\lambda d}{4h_A} \quad (2.23)$$

2.3.3. Kétutas terjedés szakaszcsillapítása

A szakaszcsillapítás levezetéséhez induljunk ki a szakaszcsillapítás definíciójából

$$a_{sz} = 10 \lg \frac{P_A}{P_V} \quad (2.24)$$

A P_V hatásos teljesítményt, mely a vevőantennából maximálisan kivehető, a vételi térerősségből írjuk fel.

$$|E_V| = 2E_0 \sin\left(\beta \frac{h_A h_V}{d}\right) \rightarrow P_V = 4P_0 \sin^2\left(\beta \frac{h_A h_V}{d}\right) \quad (2.25)$$

ahol

P_0 a hatásos teljesítményt, mely a vevőantennából maximálisan kivehető szabadtéri terjedés mellett

A (2.25) összefüggést a (2.24)-ba helyettesítve és felhasználva, hogy

$$a_o = 10 \lg \frac{P_A}{P_o} \quad (2.26)$$

a kétutas hullámterjedés szakaszcsillapítását a szabadtéri csillapítással tudjuk kifejezni.

$$a_{sz} = a_o - 20 \lg \left[2 \sin \left(\beta \frac{h_A h_v}{d} \right) \right] \quad (2.27)$$

Az interferencia zónán kívül a szinuszfüggvény argumentumával helyettesíthető és a szabadtéri csillapítás (2.9) képletét felhasználva

$$a_{sz} = 20 \lg \left(\frac{4\pi d}{\lambda} \right) - (G_A + G_v) - 20 \lg \left(2\beta \frac{h_A h_v}{d} \right)$$

$$a_{sz} = 20 \lg \left(\frac{d^2}{h_A h_v} \right) - (G_A + G_v) \quad (2.28)$$

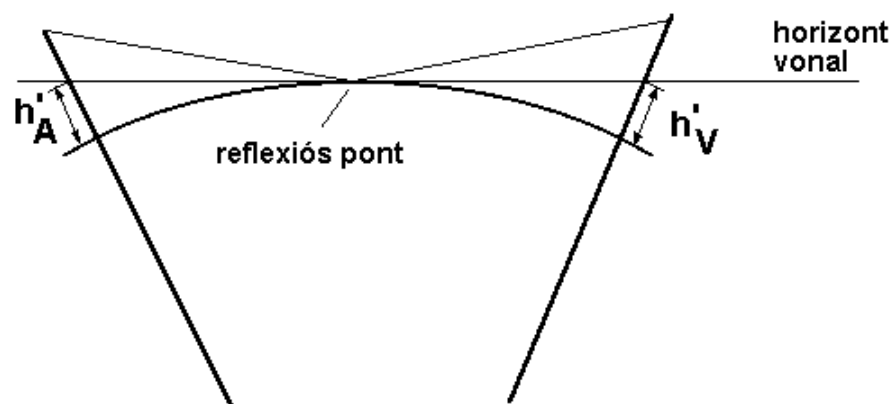
Mint a (2.28) képletből látszik, a kétutas terjedés szakaszcsillapítása az interferencia zónán kívül független az üzemi frekvenciától és a távolság negyedik hatványával arányos.

2.4. A föld görbültségének figyelembe vétele

Ebben a fejezetben megmutatjuk, hogy a föld görbültsége két módon befolyásolja a kétutas terjedést. Egyrészt a görbült földfelület felett elhelyezkedő adó-, és vevőantenna sík földfelszínre átszámított látszólagos antennamagassága kisebb a tényleges magasságnál. Másrészt a görbült fölfelületen történő talajreflexió reflexió tényezője kisebb a sík felületen történő reflexióval összehasonlítva.

2.4.1. Látszólagos antennamagasságok

Ahhoz, hogy megkapjuk az adó-, és vevőantenna sík földhöz képesti látszólagos antennamagasságát fektessünk egy a földfelszín érintő síkot a reflexió ponton keresztül.



2.8. ábra Horizontvonal és látszólagos antennamagasságok

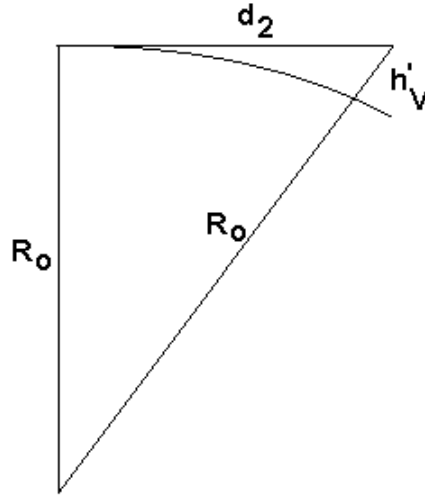
A továbbiakban tehát a figyelembe vett magasságok kisebbek, mint a telepítési magasságok és a továbbiakban a sík föld feletti terjedéssel számolhatunk.

$$h_A = h_{At} - h'_A \quad (2.29)$$

$$h_v = h_{vt} - h'_v \quad (2.30)$$

ahol a t index a telepítési magasságot jelenti.

A következő ábra alapján írjuk fel a látszólagos magasság és a horizont távolságának kapcsolatát.



2.9. ábra A látszólagos magasság és a horizont távolságának kapcsolata

A 2.9. ábrán látható derékszögű háromszögből a Pithagoras tétellel az alábbi egyenletet írhatjuk fel.

$$R_o + d_2^2 = (R_o + h'_v)^2 \quad (2.31)$$

ahol

R_o a Föld sugara (6370 km)

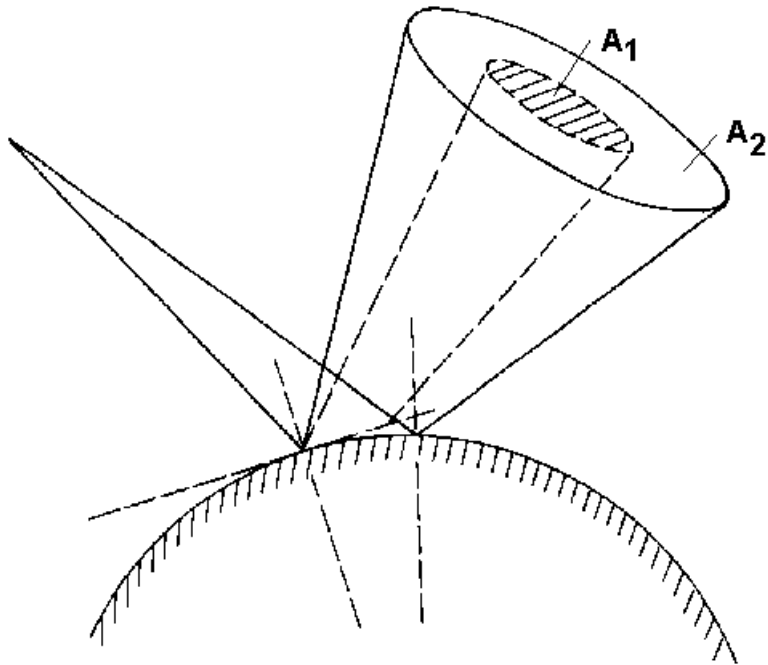
A (2.31) egyenlet jobb oldalán a négyzetre emelést elvégezve és feltételezve, hogy $h'_v \ll R_o$ a látszólagos magasság és a horizont távolságának kapcsolata.

$$d_2 \cong \sqrt{2R_o h'_v} \quad (2.32)$$

$$d_2^{km} \cong 3.56 \sqrt{h'_v{}^m} \quad (2.33)$$

2.4.2. Divergencia

A rádióhullámok a gyakorlatban a sík föld helyett valójában egy görbült felületen reflektálódnak, aminek az a következménye, hogy a divergencia miatt nagyobb felületen oszlik el a teljesítmény. A jelenséget a 2.10. ábrán szemléltetjük, ahol látszik, hogy a sík földön történő reflexió esetén A_1 , a görbült földön történő reflexió esetén ugyanaz a teljesítmény A_2 felületen oszlik el.



2.10. ábra Divergencia

A divergencia tényezőt az alábbi összefüggéssel, a teljesítménysűrűség arányainak négyzetgyökeként írjuk fel.

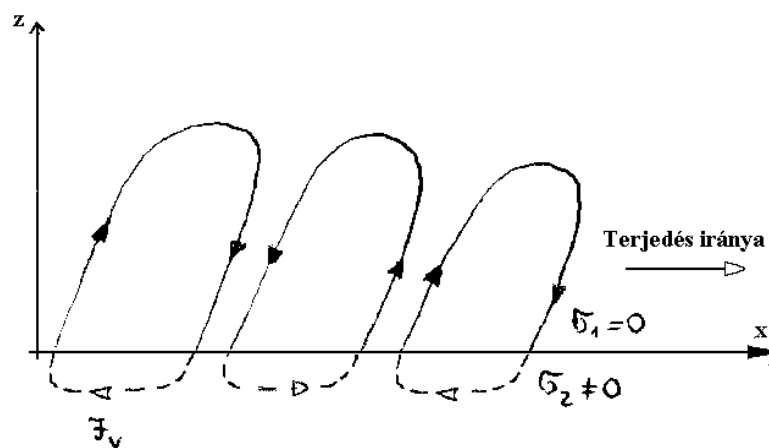
$$D = \sqrt{\frac{A_1}{A_2}} \quad D \leq 1.0 \quad (2.34)$$

A módosított földreflexiós tényező értékét pedig a következőképpen kapjuk.

$$\Gamma'_f = D \Gamma_f \quad (2.35)$$

2.5. Felületi hullám

A felületi hullám a jól vezető Föld és a levegő határfelülete mentén alakul ki és elektromos erővonalai a 2.11. ábrán látható alakúak.



2.11. ábra Felületi hullám terjedése

A levegőben folyó eltolási és a talajban folyó vezetési áram zárt hurkot alkot. Az elektromos erővonalak a talaj véges vezetőképessége miatt a haladás irányába megdőlnek.

A komplex dielektromos állandót vezessük be az I. Maxwell egyenlet (2.36) alapján.

$$\text{rot } \mathbf{H} = \mathbf{E}(\sigma + j\omega \varepsilon_0 \varepsilon_r) \quad (2.36)$$

$$\text{rot } \mathbf{H} = j\omega \varepsilon_0 \varepsilon^* \mathbf{E} \quad (2.37)$$

ahol

ε^* a komplex dielektromos állandó

$$\varepsilon^* = \varepsilon_r + \frac{\sigma}{j\omega \varepsilon_0} = \varepsilon_r - j \frac{\sigma}{\omega \varepsilon_0} = \varepsilon_r - j X$$

Ha $\varepsilon_r \gg X$, akkor a közeg inkább szigetelő, ha pedig $\varepsilon_r \ll X$ akkor inkább vezető. Az, hogy egy közeg melyik csoportba tartozik, a hullámhossztól is függ.

Néhány közegre és frekvenciára az I. Táblázat mutatja be a vezetőképességet és dielektromos állandót.

I. Táblázat

Talaj	ε_r	σ ; mS/m	f ; MHz
Tengervíz	80	4000	900
Édesvíz	80	5	1.1
Mocsaras, erdős síkvidék	30	20	12
Gazdag termőtalaj, alacsony domdok	15	10	12
Legelő, közepes dombokon, erdő	15	5	6
Sziklás hegyvidék	7	1	2.6
Hegyvidék 1000 m-ig	5	1	3.6
Sivatag	3	0.1	0.6
Városok lakónegyedei	4	2	9
Városok ipari negyedei	3	0.1	0.6

Az I. Táblázatban f az a frekvencia, ahol $\varepsilon_r = X$.

Mint az I. Táblázatból látható, mintegy 0.5-1 MHz alatt a talajok inkább vezetőként, 10-20 MHz felett pedig inkább szigetelőként viselkednek, kivéve a tengervízet, mely a mikrohullámú sáv aljáig viszonylag jó vezető. Felületi hullámokat jó hatásfokkal csak olyan vertikális adóantennával lehet gerjeszteni, melynek egyik pólusa a talajhoz kapcsolódó ellensúlyrendszerre van kötve.

Sommerfeld 1909-ben a Fizikai szemlében publikálta a vertikális felületi hullámok csillapítási tényezőjét.

$$E = E_0 \cdot A(p) \quad (2.38)$$

ahol

$A(p)$ a vertikális felületi hullámok csillapítási tényezője
 E_0 a szabadtéri térerősség

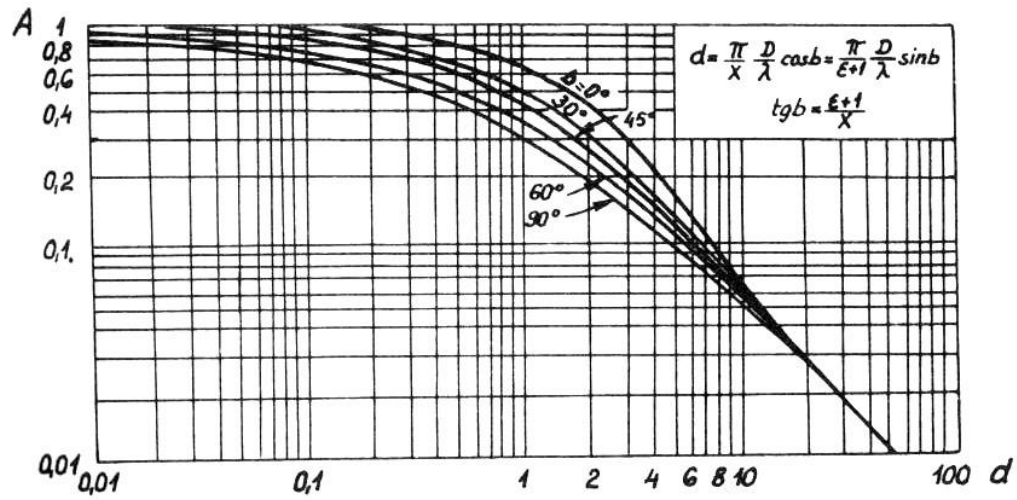
$$A(p) = \frac{2 + 0.3 \cdot p}{2 + p + 0.6 \cdot p} - \sqrt{\frac{p}{2}} \cdot e^{-0.6p} \sin b \quad (2.39)$$

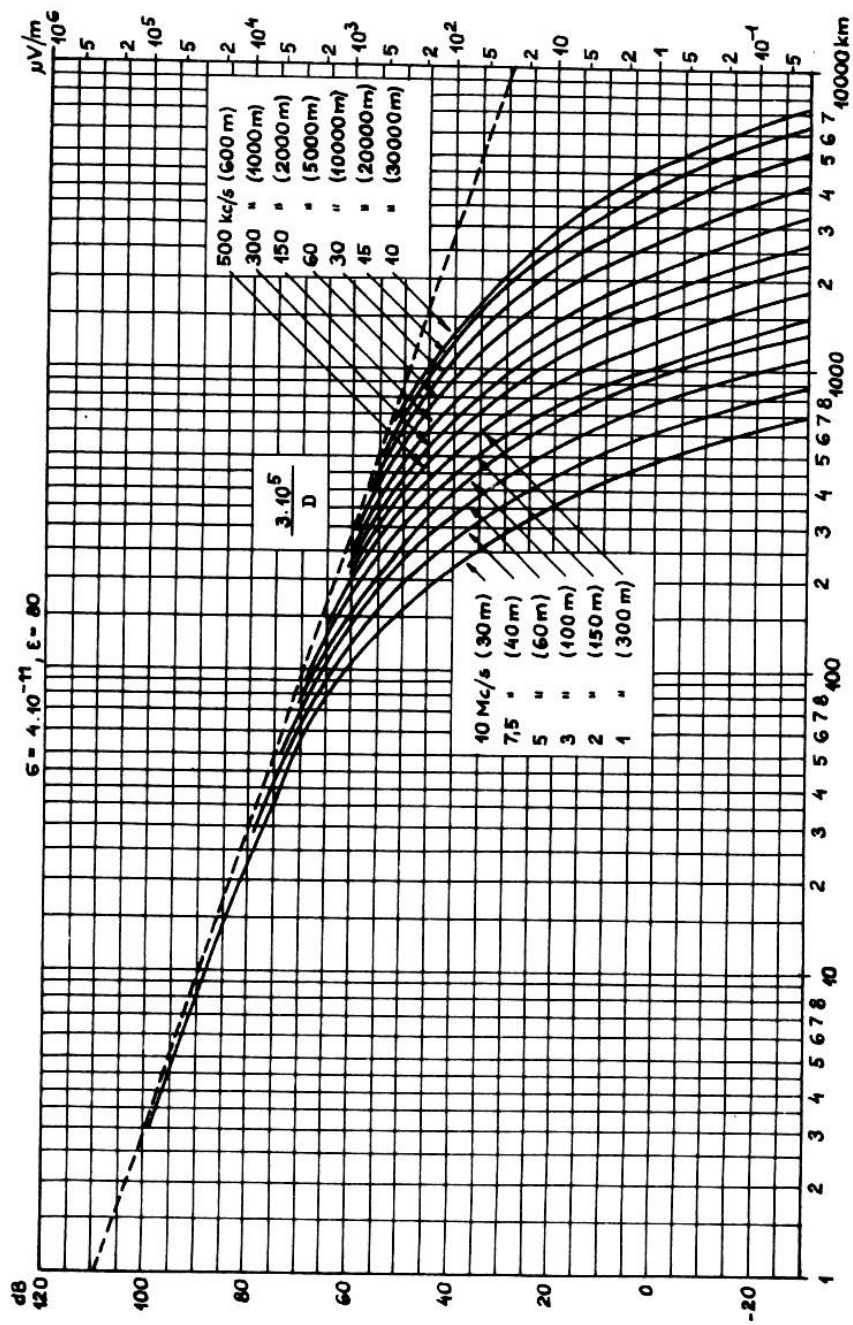
$$p = \frac{\pi \cdot d}{\lambda \cdot x} \cos b$$

$$b = \arctg \frac{\varepsilon_r - 1}{x}$$

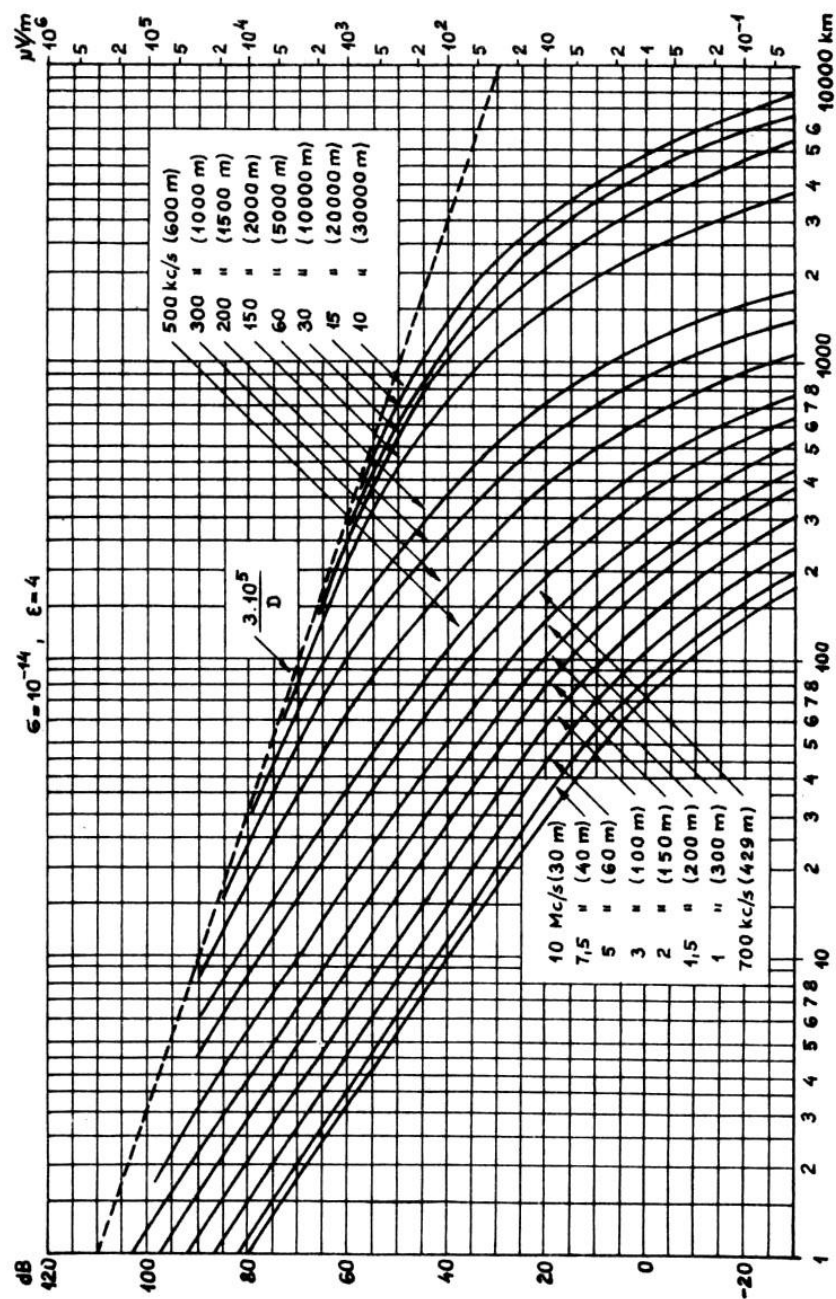
$$X = \frac{\sigma}{\omega \cdot \epsilon_0} = 60 \cdot \sigma \cdot \lambda$$

Az előzőekben bemutatott sík földre vonatkozó modell $d \text{ km} = 80 / \sqrt[3]{f \text{ MHz}}$ határig használható, effölött Sommerfeld korrekciós tényezőt vezetett be.





Pelületi hullámu térerősség a távolság függvényében 1 kW kisugárzott teljesítményre és $l < \lambda/4$ anténára



2.6. ábra

Felületi hullámú térerősség a távolság függvényében 1 kW kisugárzott teljesítményre és $1 \angle \lambda/4$ antennára

2.6. Troposzférikus szórás

A horizonton túli távközlési összeköttetés egyik formája a troposzférikus szórással megvalósított összeköttetések. A jelenség akkor jön létre, ha az adó-, és vevőantenna nyalábja a közös szóró keresztmetszeten lapolódik át, mely a föld felszínétől 3-8 km magasságban helyezkedik el. A szóródás a törésmutató index véletlen változásából vagy fluktuációjából származik. Ezen változások oly csekély mértékűek, hogy az összeköttetés megvalósításához jelentős adóteljesítményre van szükség.

A troposzférikus szórással megvalósított összeköttetések a 200 MHz-10 GHz-es frekvenciatartományban üzemelnek. Alacsonyabb frekvenciájú működést a szükséges nagy nyereségű antennák jelentős mérete miatt a gyakorlatban nem alkalmaznak, nagyobb frekvenciákon pedig a szakaszcillapítás válik túl nagygyá.

A troposzférikus szórással megvalósított összeköttetéseknél fellépő fading miatt általában diversity technikát alkalmaznak a vételnél.

A troposzférikus szórású összeköttetések tipikus szakasztávolsága több száz kilométer, rendszerint nem nagyobb, mint 700 km. Az 1950-60-as években jelentős érdeklődés mutatkozott a troposzférikus szórású összeköttetések iránt, de a műholdas összeköttetések fejlődésével jelenleg kisebb igény mutatkozik irántuk.

Példa:

Egy troposzférikus szórású összeköttetés tipikus adatai:

$$P_A = 1 \text{ kW}$$

$$G_A = G_V = 10^5 \text{ (50 dB) (adó-, ill. vevőantenna nyeresége)}$$

$$d = 400 \text{ km (szakasztávolság)}$$

$$\lambda = 0.1 \text{ m (3 GHz)}$$

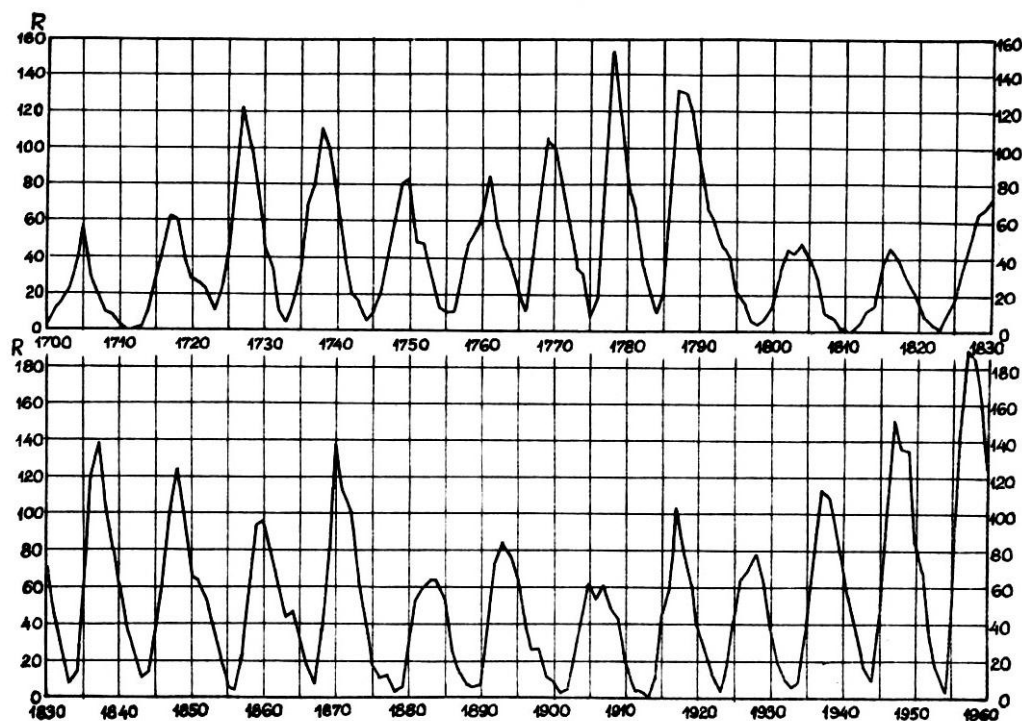
$$C_n = 10^{-8} \text{ m}^{-1/3} \text{ (struktúra állandó)}$$

$$k = 4/3 \text{ (Földsugártényező)}$$

$$R_0 = 6370 \text{ km (a Föld sugara)}$$

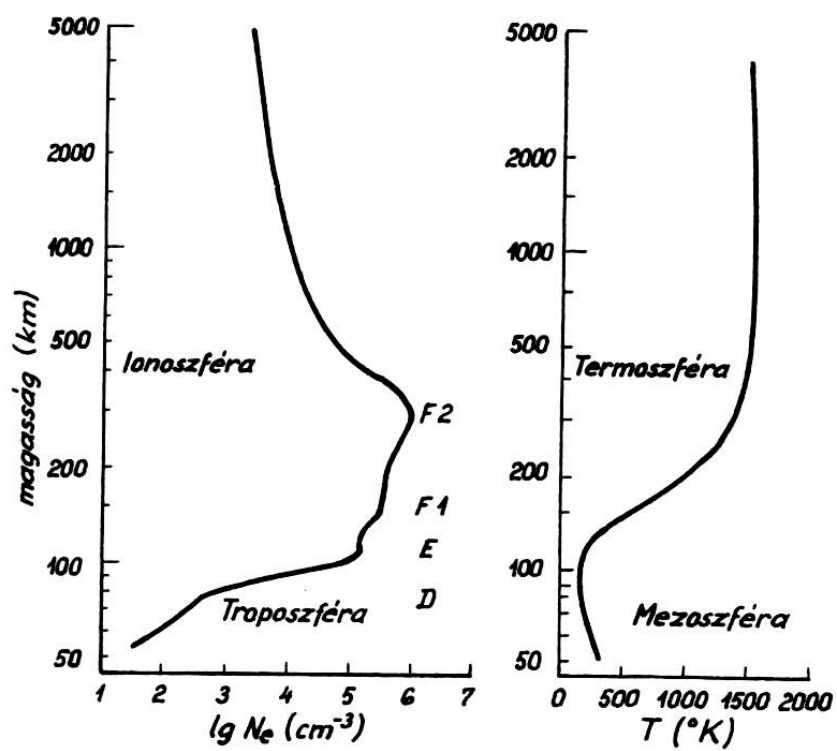
2.7. Ionoszférikus terjedés

Az ionoszféra a légkör 40-500 km-es rétege, amelyben a gázok részben ionizált állapotban vannak. Az ionizáció fő forrása a Nap ibolyán túli és részecskesugárzása (elektron, proton), ezenkívül meteor becsapódás.

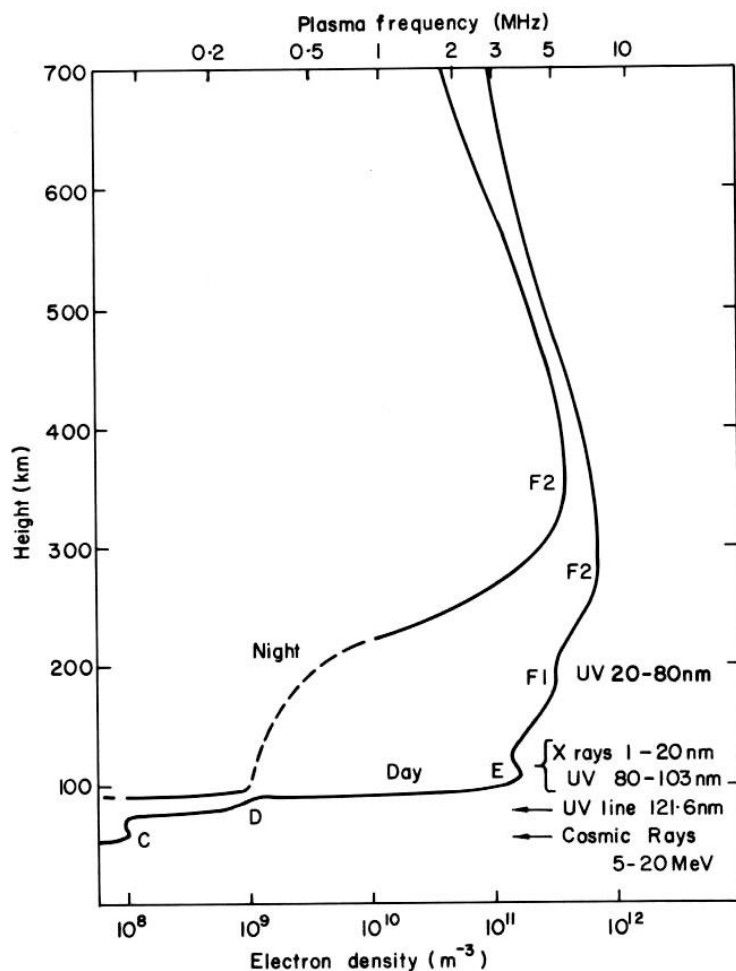


A napfoltyszámok alakulása

Az ionoszférikus terjedési jelenségek leírására Kennely és Heaviside 1902-ben fiktív rétegeket tételezett fel. Az azóta elvégzett vizsgálatok kimutatták, hogy a Föld felszínétől felfelé haladva helyi ionizációs maximumok vannak.



2.12. ábra Az ionoszféra felépítése



Az ionoszférikus rétegek éjjel és nappal

2.7.1. A rétegek leírása

A D réteg

A Földhöz legközelebbi, legkevésbé ionizált réteg, melynek magassága 70-100 km. Csak nappal létezik és jelentős csillapítást okoz a rajta történő áthaladásakor. Ezen tulajdonsága következtében nappal gyakorlatilag nem lehetséges a középhullámú távolsági vétel. A csillapítás maximuma 1 MHz-nél van.

Az E réteg

Az E réteg magassága 100-150 km, stabil réteg, melynek magassága nem változik számottevően sem a földrajzi helyzet, sem napszak, sem az évszak függvényében. Az E réteg kritikus frekvenciája nullától (hajnal előtt) maximumig (kevésdel dél után) növekszik, majd újra nulláig csökken.

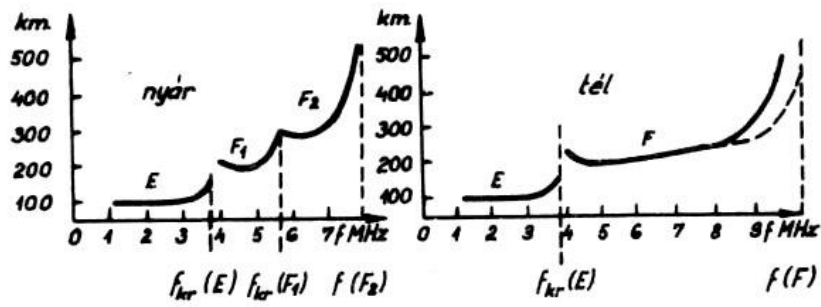
Az F_1 réteg

Az F_1 réteg magassága 200-300 km.

Az F_2 réteg

Az F_2 réteg magassága 300-600 km, és ez a réteg, mely a nagytávolságú rövidhullámú összeköttetések fő közvetítő rétege.

2.7.2. Ionoszféra mérések



2.13. ábra Ionoszféra mérések (ionogram)

Az m tömegű, $-e$ töltésű elektron v sebességgel mozog egy E elektromos térben keresztül.

$$m \cdot \frac{dv}{dt} = -e \cdot E \quad (2.40)$$

Színuszos térre:

$$j\omega m v = -e \cdot E \quad (2.41)$$

Térfogategységenként N elektront feltételezve, az áramsűrűség:

$$\mathbf{J} = -eN\mathbf{v} = \frac{Ne^2}{j\omega m} \mathbf{E} \quad (2.42)$$

A Maxwell egyenleteket felhasználva:

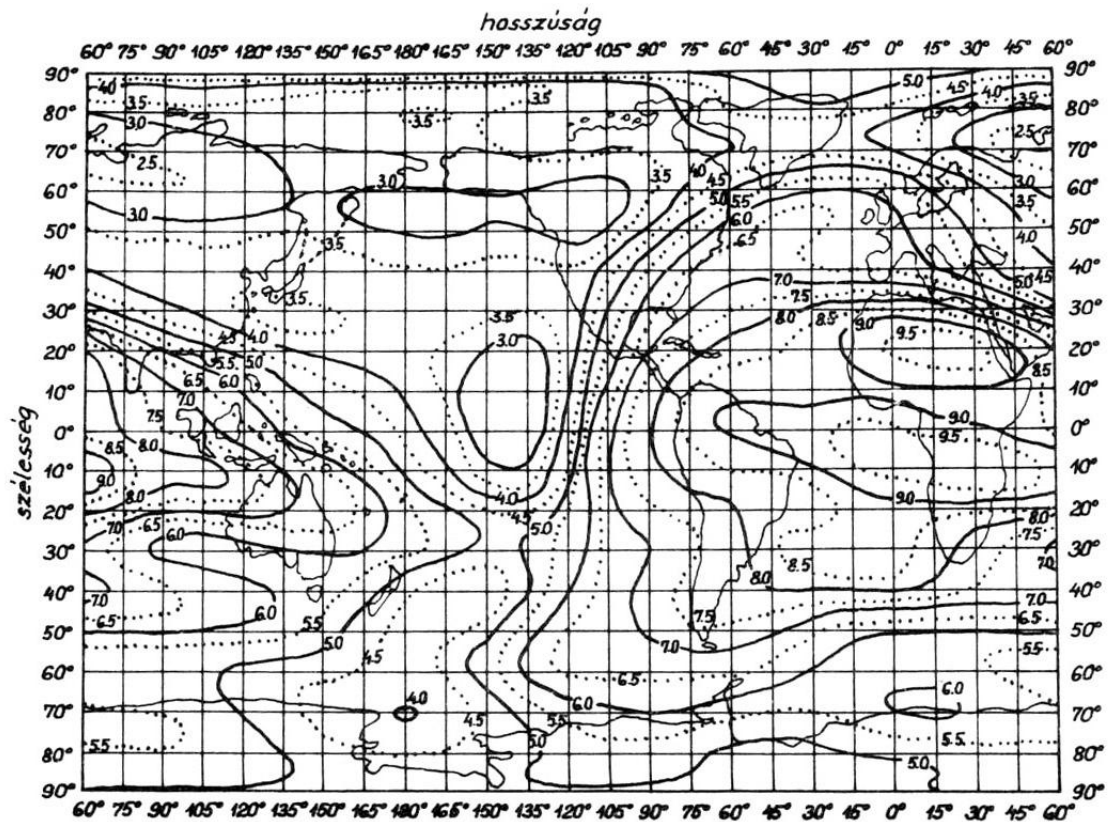
$$\text{rot } \mathbf{H} = j\omega\epsilon_0 \mathbf{E} + \mathbf{J} = j\omega\epsilon_0 \left(1 - \frac{Ne^2}{\omega^2 m\epsilon_0} \right) \mathbf{E} \quad (2.43)$$

Így az ionizált gáz dielektromos állandója:

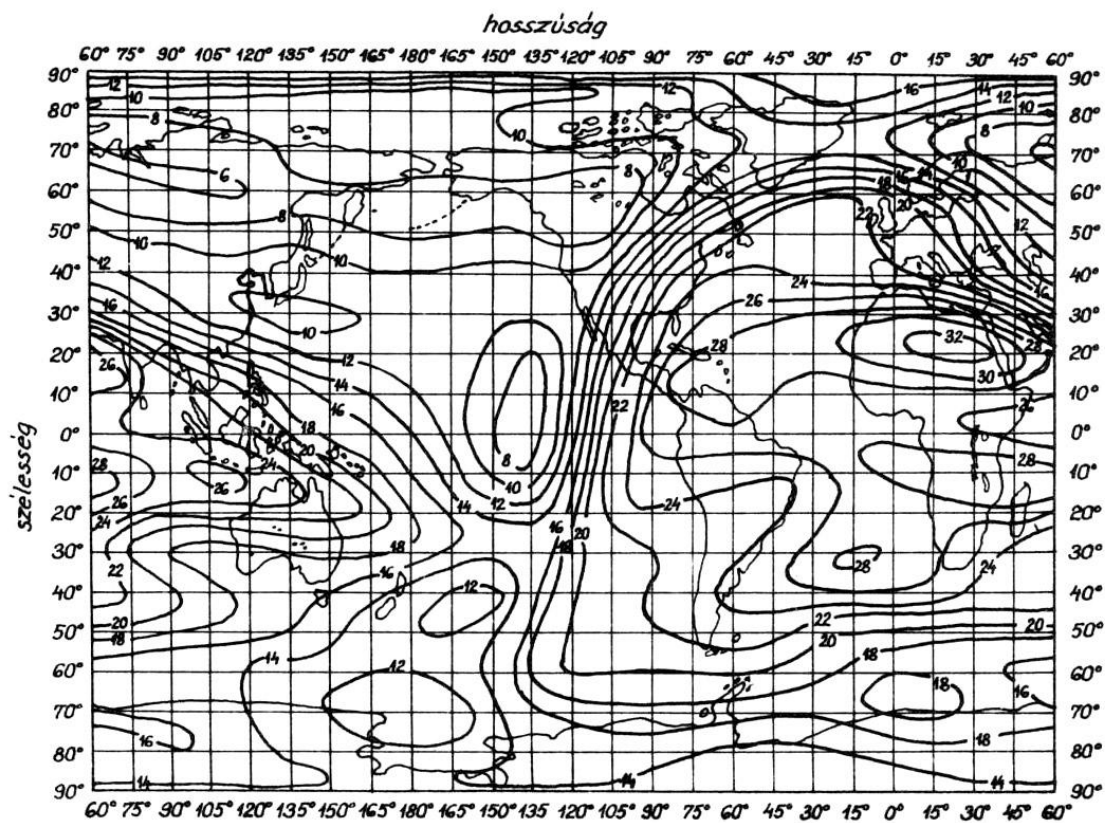
$$\epsilon^* = 1 - \frac{Ne^2}{\omega^2 m\epsilon_0} = 1 - \frac{\omega_p^2}{\omega^2} \quad (2.44)$$

ahol

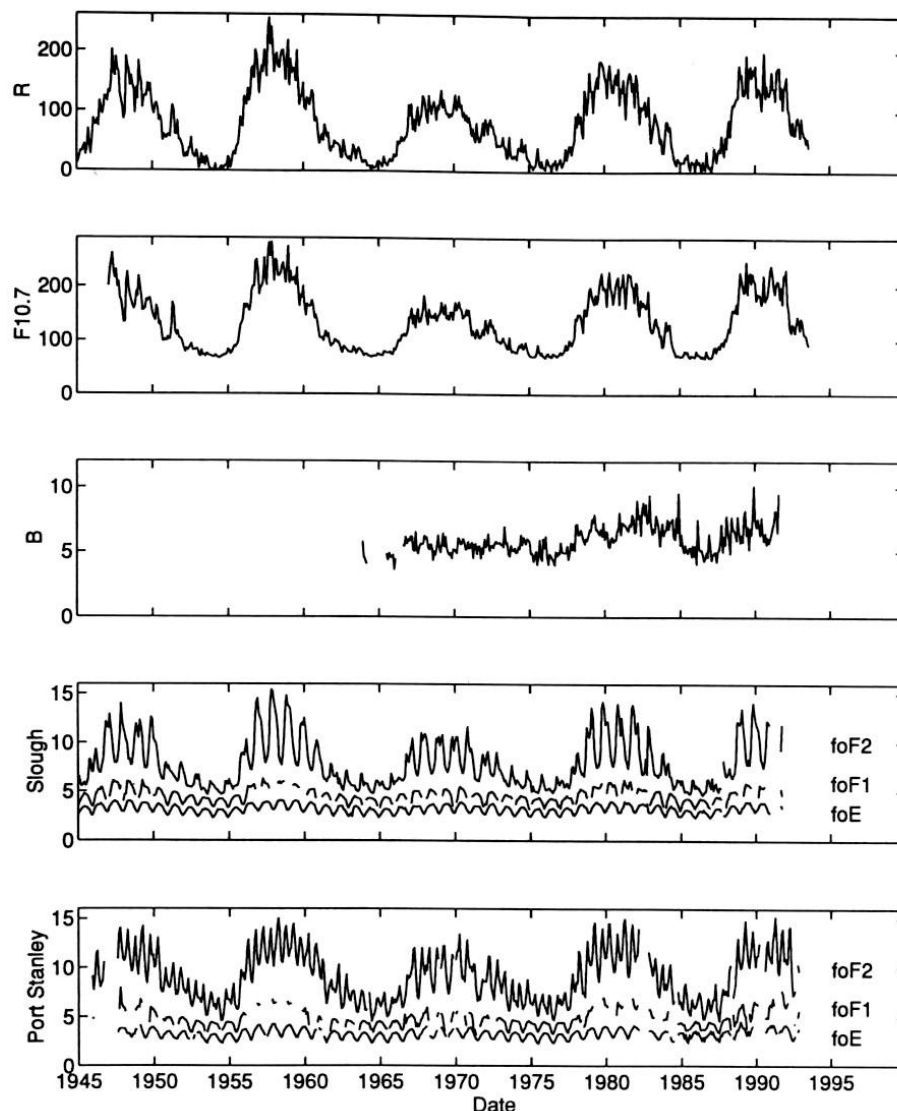
$$\omega_p \quad \text{a plazma frekvencia} \quad \omega_p = \sqrt{Ne^2 / m\epsilon_0}$$



Az F_2 réteg MUF értéke



Az F_2 réteg 4000 km-es összeköttetésre használható MUF_{4000km} értéke



A napfoltszám és kritikus frekvenciák összefüggése

2.8. Terepakadályok hatása

A hullámokat a szabad terjedésben a sík talajon kívül talajegyenetlenség ill. benyúló tereptárgyak is akadályozhatják.

A talaj egyenetlenségét a sík felületre kapott talajreflexiók tényező módosításával, az akadályok hatását késél (2.14. ábra), parabolikus henger vagy dielektromos ék modellel vesszük figyelembe.

Diffракció

2.8.1. A Fresnel zóna

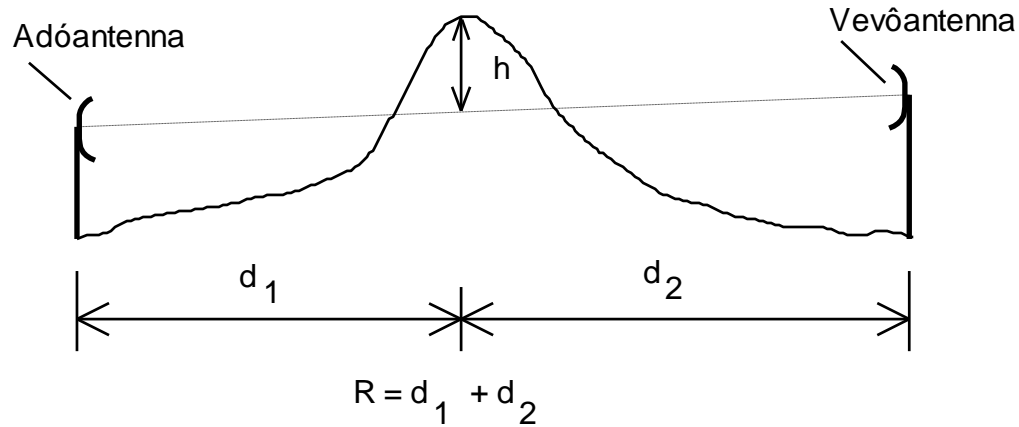
Ha a terjedő hullámra az első Fresnel zóna szabad, akkor a teljesítmény 95-98%-a eljut a vevőantennához.

Az M-dik Fresnel zóna sugara:

$$r_m = \sqrt{\frac{M\lambda d_1 d_2}{d_1 + d_2}} \quad (2.45)$$

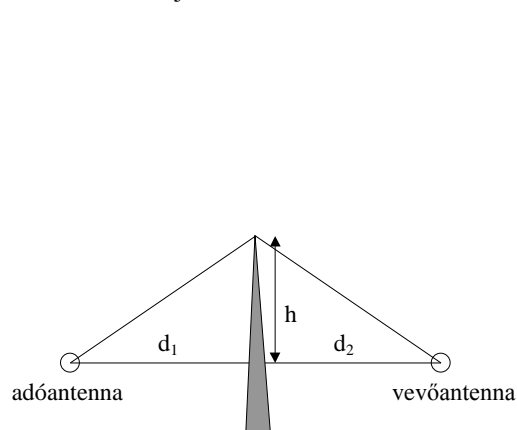
Az 1. Fresnel zóna sugara:

$$r_1 = \sqrt{\frac{\lambda d_1 d_2}{d_1 + d_2}} \rightarrow v = \sqrt{2} \frac{h}{r_1} = h \sqrt{\frac{2(d_1 + d_2)}{\lambda d_1 d_2}} \quad (2.46)$$

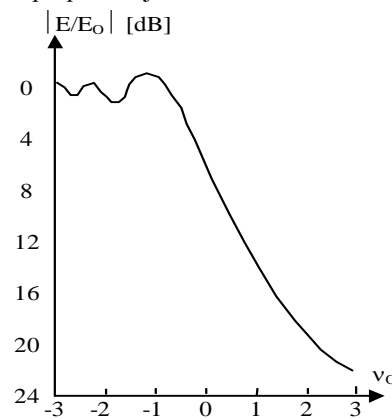


2.14. ábra Diffrakciós csúcs

A Huygens elv értelmében a terjedő hullám frontja új hullámforrásként viselkedik és így az elektromágneses hullámok ezen új forrásokból származó hullámok szuperpozíciójaként állítható elő.



2.15. ábra Diffrakciós geometria



2.16. ábra Diffrakciós többletszillapítás a késél relatív benyúlásának függvényében

Fresnel geometriai diffrakcióelmélete értelmében a 2.15. ábrán látható geometriára a vételi télerősség a következő Fresnel integrállal írható fel.

$$\frac{E}{E_o} = \frac{1}{1-j} \int_{v_o}^{\infty} \exp(-j \frac{\pi}{2} v^2) dv \quad (2.47)$$

ahol az 1. Fresnel zóna sugara r_1 és az akadály relatív benyúlása v_o :

$$r_1 = \sqrt{\frac{\lambda d_1 d_2}{d_1 + d_2}} \rightarrow v_o = \sqrt{2} \frac{h}{r_1} = h \sqrt{\frac{2(d_1 + d_2)}{\lambda d_1 d_2}} \quad (2.48)$$

A késélként modellezett diffrakciós csúcs által okozott többletszillapítás (szabadtéri télerősséghez képest) a késél v_o relatív magasságának függvényében a 2.16. ábrán látható. A v_o paraméter a késélnek a Fresnel

ellipszisekbe való relatív benyúlását adja meg, mely pozitív, ha a késél a látóvonal fölé nyúlik, negatív, ha a késél a látóvonal alatt helyezkedik el.

A diffrakciós többletsillapításkiszámításának lépései ezután:

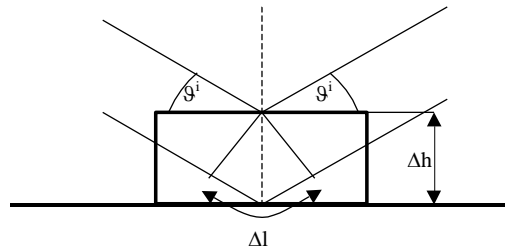
Az 1. ábrának megfelelően a terepmetszetből a szakasztávolságot és a diffrakciós csúcs benyúlásának mértékét kell leolvasni.

A késélként modellezett diffrakciós csúcs által okozott többletsillapítás (szabadteri térerősséghez képest) a késél v_0 relatív magasságának függvényében a (2.47) képlettel, a (2.49) közelítő kifejezéssel, vagy a 2.16. ábrából határozható meg.

$$20 \lg[E(v)/E_o] = \begin{cases} 20 \lg(0.5 - 0.62v) & -0.8 < v < 0 \\ 20 \lg[0.5 \exp(-0.95v)] & 0 < v < 1 \\ 20 \lg \left[0.4 - \left\{ 0.1184 - (0.38 - 0.1v)^2 \right\}^{1/2} \right] & 1 < v < 2.4 \\ 20 \lg[0.225/v] & v > 2.4 \end{cases} \quad (2.49)$$

Szóródás

A szóródást lényegében egyenetlen felületen történő rendezetlen reflexiók együtteseként kezelhetjük. A vizsgálataink főleg a felületi egyenetlenség jellemzésével foglalkoznak és a Rayleigh kritériumot alkalmazzuk a felület síma ill. egyenetlen voltának eldöntésére. Ha a felület egyes pontjaiból reflexióval származó hullámösszetevők közötti maximális fáziseltérés $\pi/2$ -nél kisebb, akkor a felület síknak tekinthető, ellenkező esetben egyenetlen. A fáziseltérésből az úthosszkülönbségekre $\lambda/4$ adódik.



2.17. ábra Talajegyenetlenség modellje

A talajegyenetlenségből következő hullámösszetevők úthosszkülönbsége a 2.17. ábrából $\Delta l = 2 \cdot \Delta h \cdot \sin \theta^i$, így a Rayleigh kritériumból következő maximális megengedett talajegyenetlenség

$$\Delta h = \frac{\lambda}{8 \sin \theta^i}.$$

Egyenetlen felületekre a felület magassági eloszlását Gauss eloszlásként modellezzük, a szórási veszteség ρ_s megadható

$$\rho_s = \exp \left[-8 \left(\frac{\pi \sigma_s \sin \theta^i}{\lambda} \right)^2 \right] \quad (2.50)$$

ahol σ_s a felület magasságának szórása. Így az egyenetlen felületről történő szórás reflexiós tényezője

$$\Gamma_{\text{egyenetlen}} = \rho_s \cdot \Gamma_{\text{sík}} \quad (2.51)$$